

Übersicht über den Raupenphänotyp der behandelten Zygaena-Arten

Objekttyp: **Chapter**

Zeitschrift: **Contributions to Natural History : Scientific Papers from the Natural History Museum Bern**

Band (Jahr): - **(2023)**

PDF erstellt am: **17.07.2024**

Nutzungsbedingungen

Die ETH-Bibliothek ist Anbieterin der digitalisierten Zeitschriften. Sie besitzt keine Urheberrechte an den Inhalten der Zeitschriften. Die Rechte liegen in der Regel bei den Herausgebern.

Die auf der Plattform e-periodica veröffentlichten Dokumente stehen für nicht-kommerzielle Zwecke in Lehre und Forschung sowie für die private Nutzung frei zur Verfügung. Einzelne Dateien oder Ausdrucke aus diesem Angebot können zusammen mit diesen Nutzungsbedingungen und den korrekten Herkunftsbezeichnungen weitergegeben werden.

Das Veröffentlichen von Bildern in Print- und Online-Publikationen ist nur mit vorheriger Genehmigung der Rechteinhaber erlaubt. Die systematische Speicherung von Teilen des elektronischen Angebots auf anderen Servern bedarf ebenfalls des schriftlichen Einverständnisses der Rechteinhaber.

Haftungsausschluss

Alle Angaben erfolgen ohne Gewähr für Vollständigkeit oder Richtigkeit. Es wird keine Haftung übernommen für Schäden durch die Verwendung von Informationen aus diesem Online-Angebot oder durch das Fehlen von Informationen. Dies gilt auch für Inhalte Dritter, die über dieses Angebot zugänglich sind.

Übersicht über den Raupenphänotyp der behandelten *Zygaena*-Arten

Die folgenden Abbildungen umfassen die Detailansicht der Dorsalseite des vierten Abdominalsegments (Abb. 290–292), die Dorsal- und Lateralseite der Raupen aller im Alpenraum nachgewiesenen *Zygaena*-Arten (Abb. 293–296) sowie exemplarisch Kokons und Exuvien einiger Arten (Abb. 297). Die Reihenfolge der Abbildungen zum Raupenphänotyp folgt dabei nach der von Hofmann & Tremewan (2017) publizierten Checkliste und umfasst Vertreter folgender Gruppen:

Untergattung *Mesembrynus*:

- *purpuralis*-Gruppe (*Z. brizae*, *Z. erythrus*, *Z. minos*, *Z. purpuralis*)
- *cynarae*-Gruppe (*Z. cynarae*)
- *centaureae*-Gruppe (*Z. laeta*)
- *favonia*-Gruppe (*Z. sarpedon*, *Z. punctum*)

Untergattung *Agrumenia*:

- *fausta*-Gruppe (*Z. fausta*)
- *hilaris*-Gruppe (*Z. hilaris*)
- *carniolica*-Gruppe (*Z. carniolica*, *Z. occitanica*)
- *exulans*-Gruppe (*Z. exulans*)
- *viciae*-Gruppe (*Z. viciae*)
- *loti*-Gruppe (*Z. loti*)

Untergattung *Zygaena*:

- *lavandulae*-Gruppe (*Z. lavandulae*)
- *rhadamanthus*-Gruppe (*Z. rhadamanthus*, *Z. oxytropis*)
- *nevadensis*-Gruppe (*Z. nevadensis*, *Z. romeo*, *Z. osterodensis*)
- *transalpina*-Gruppe (*Z. ephialtes*, *Z. transalpina*, *Z. angelicae*)
- *filipendulae*-Gruppe (*Z. filipendulae*, *Z. lonicerae*, *Z. trifolii*)

Abb. 297 vermittelt einen Eindruck über die Vielfalt der Kokons verschiedener *Zygaena*-Arten. Die Kokons unterscheiden sich hinsichtlich Grösse, Gestalt, Oberflächenbeschaffenheit sowie Ausfärbung. Obwohl besonders letztere variabel ist, können die Merkmale des Kokons zusammen mit der Farbe der Exuvie (Puppenhülle) einen wichtigen Hinweis zur Artbestimmung geben.

Hinweis

In den beiden kürzlich erschienenen Bänden (Part III.1 und Part III.2; 2020) der monumentalen Monographie «The Natural History of Burnet Moths» von Hofmann & Tremewan werden von allen *Zygaena*-Arten u. a. auch die Präimaginalstadien beschrieben und abgebildet.

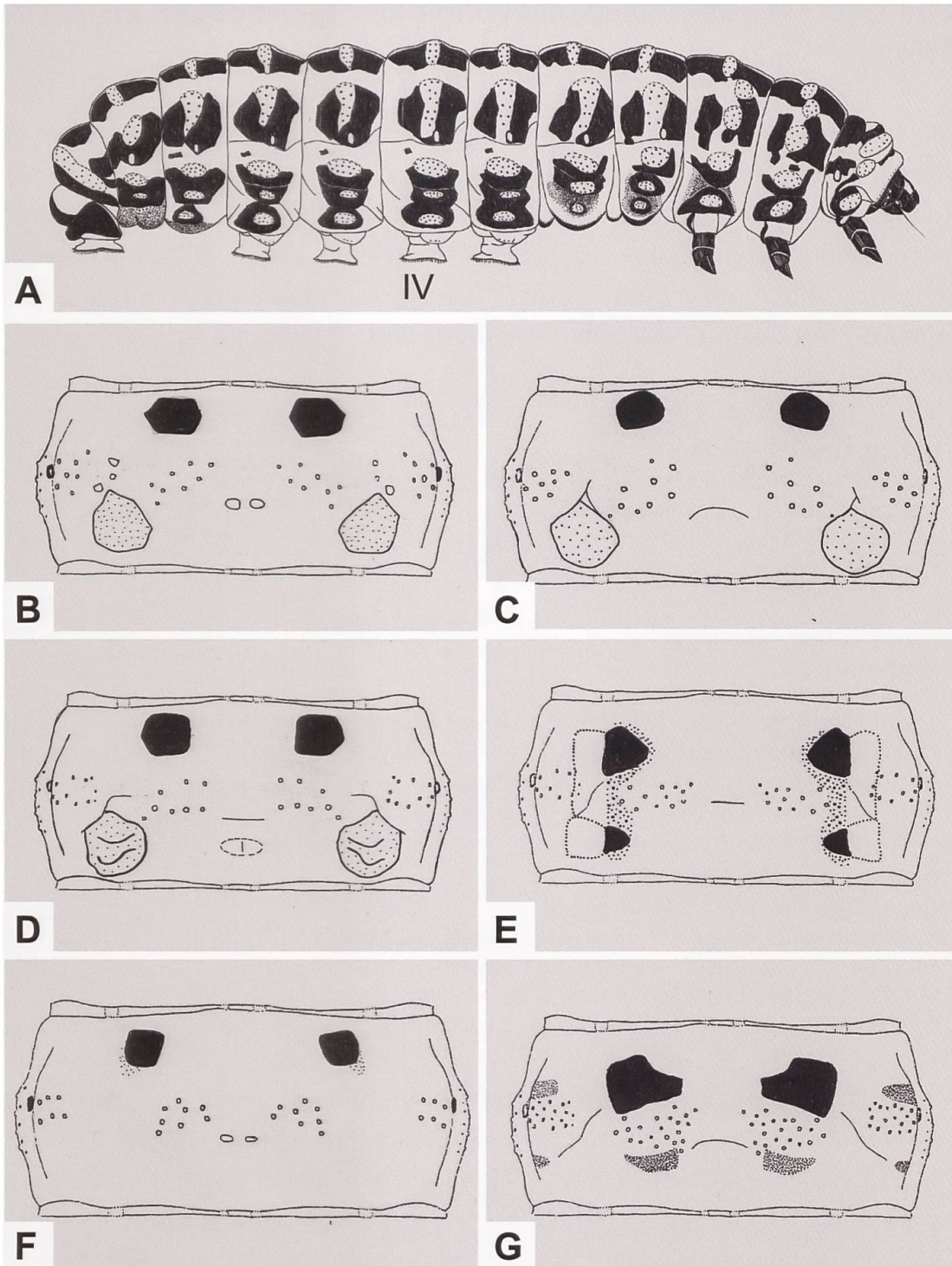


Abb. 290. Erwachsene Raupe von *Z. lonicerae* (A) (Borsten nicht gezeichnet) sowie Dorsalseite des vierten Abdominalsegments (IV, Segmentvorderrand jeweils oben) der erwachsenen Raupe von *Z. erythrus* (B), *Z. minos* (C), *Z. purpuralis* (D), *Z. fausta* (E), *Z. hilaris* (F) und *Z. carniolica* (G) (Strichzeichnungen: P. Sonderegger).

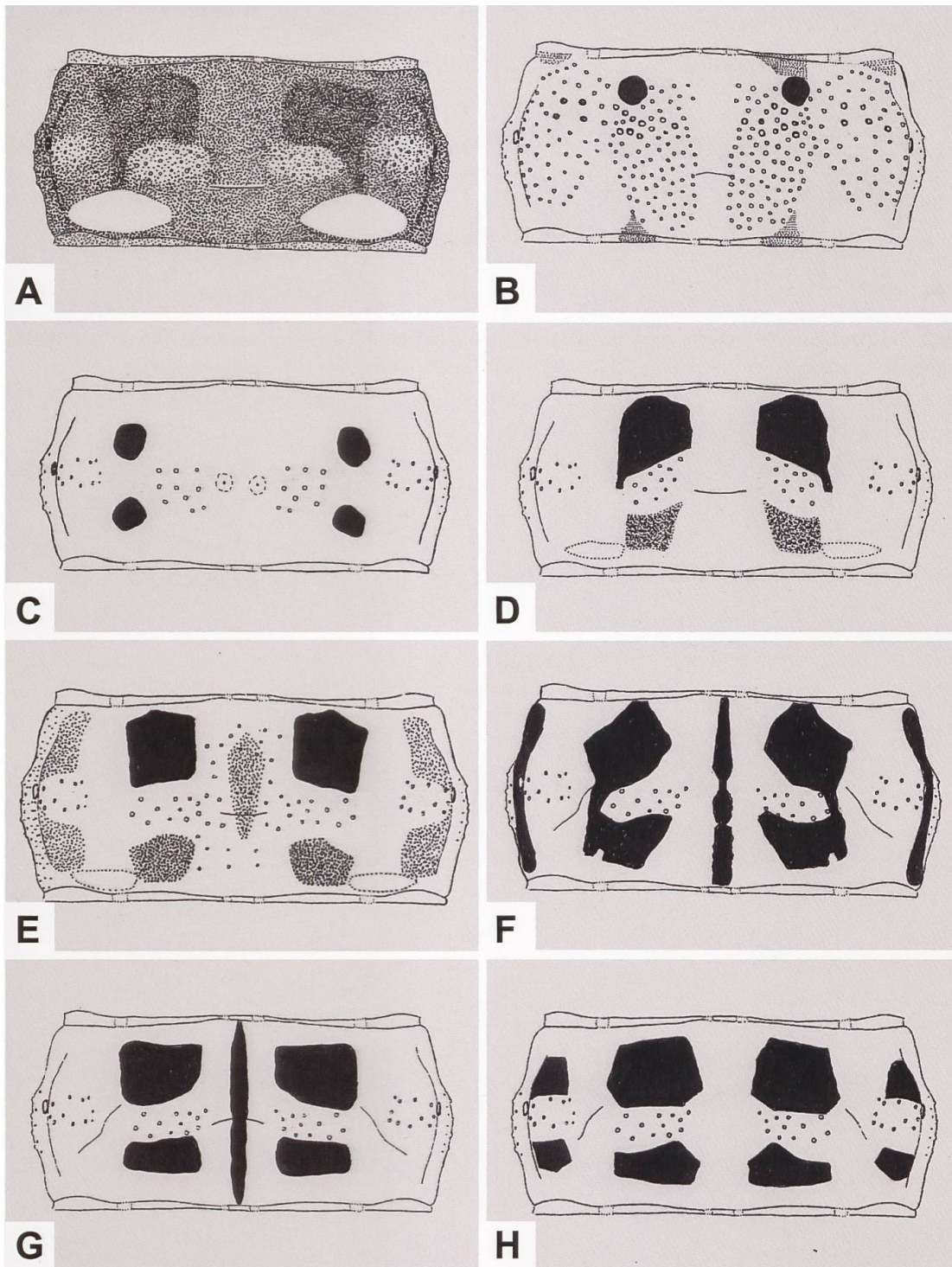


Abb. 291. Dorsalseite des vierten Abdominalsegments (Segmentvorderrand jeweils oben) der erwachsenen Raupe von *Z. exulans* (A), *Z. viciae* (B), *Z. loti* (C), *Z. romeo* (D), *Z. osterodensis* (E), *Z. ephialtes* (F), *Z. transalpina* (G) und *Z. filipendulae* (H) (Strichzeichnungen: P. Sonderegger).

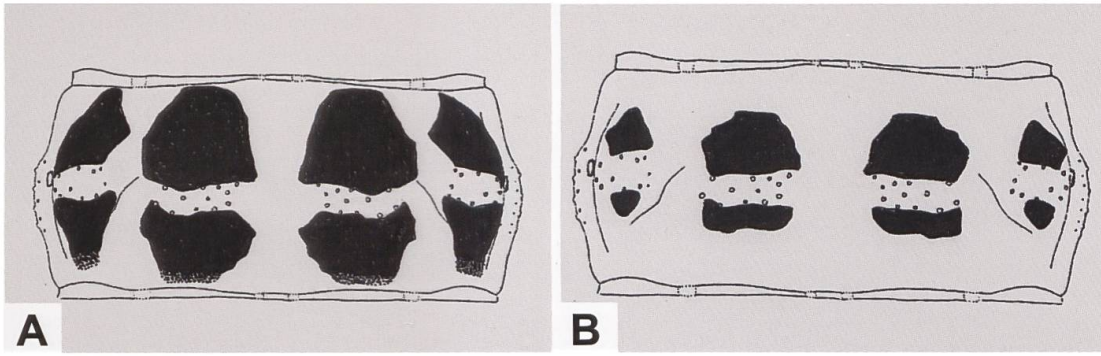


Abb. 292. Dorsalseite des vierten Abdominalsegments (Segmentvorderrand jeweils oben) der erwachsenen Raupe von *Z. loniceræ* (A) und *Z. trifolii* (B) (Strichzeichnungen: P. Sonderegger).

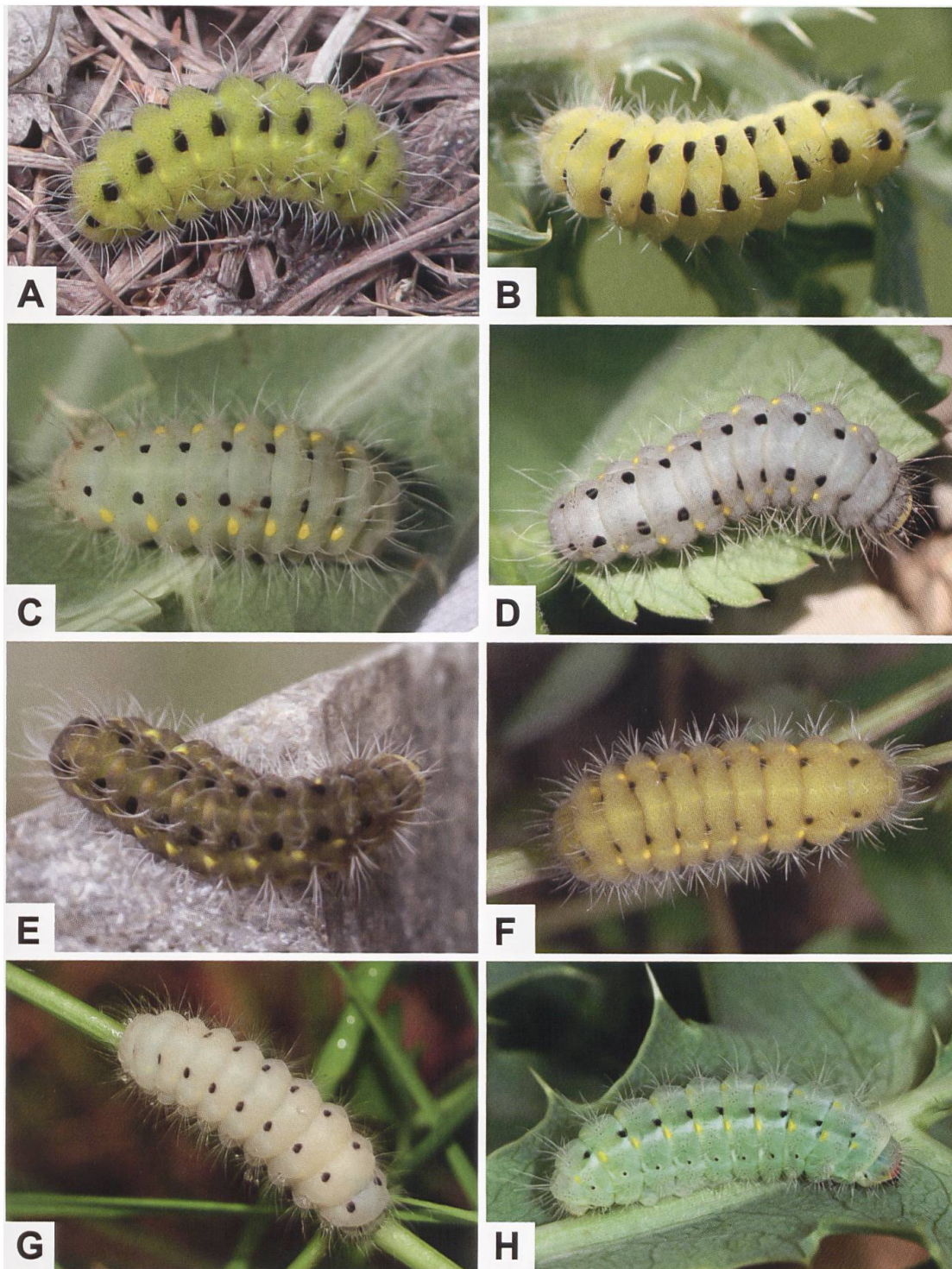


Abb. 293. Erwachsene Raupen aus der Untergattung *Mesembrynus*: *Z. brizae* (A), *Z. rubicundus* (B), *Z. erythrus* (C), *Z. minos* (D), *Z. purpuralis* (E), *Z. cynarae* (F, G) und *Z. sarpedon* (H).

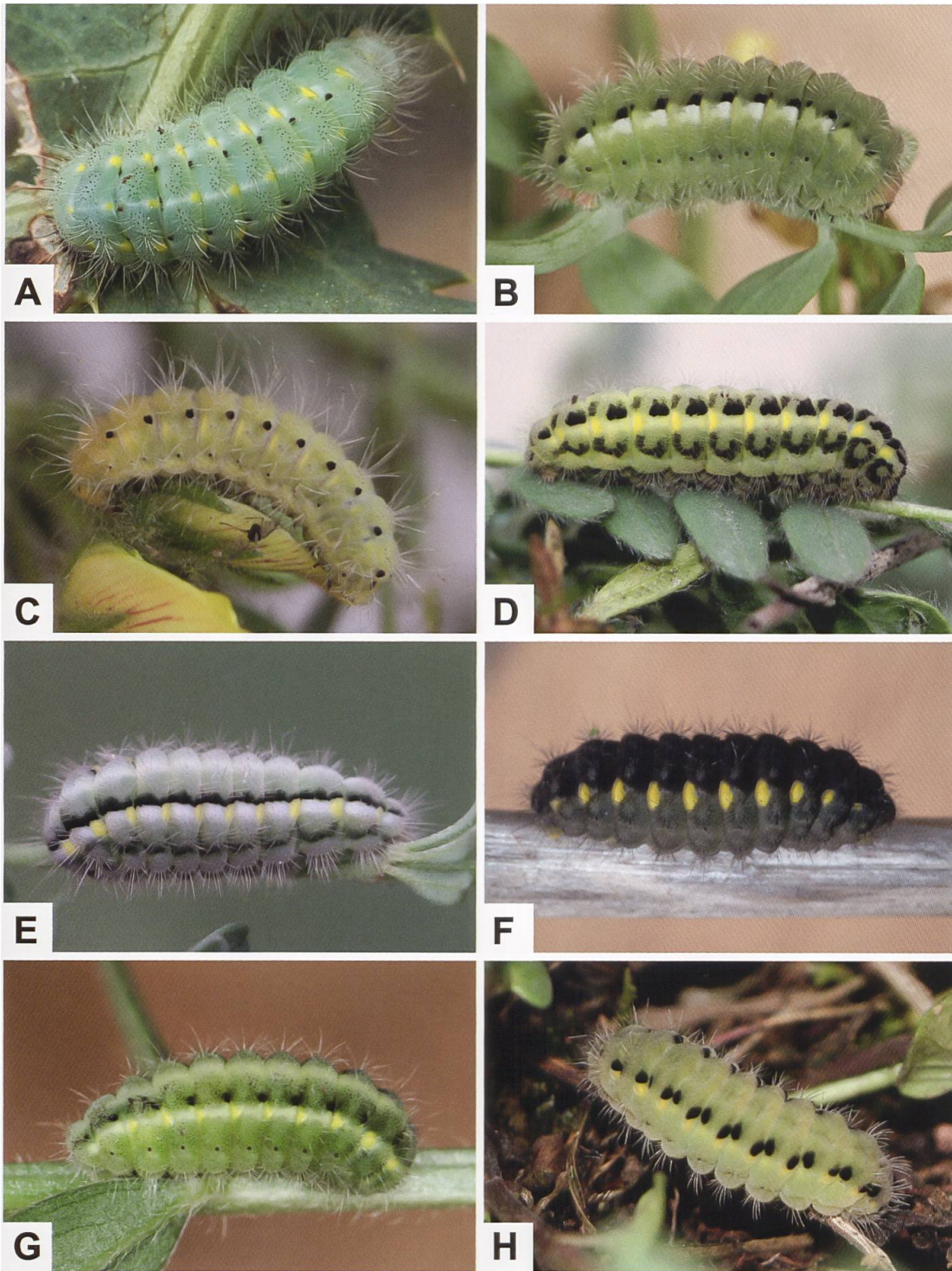


Abb. 294. Erwachsene Raupen aus den Untergattungen *Mesembrynus*: *Z. punctum* (A) und *Agrumenia* (B–H): *Z. fausta* (B), *Z. hilaris* (C), *Z. carniolica* (D), *Z. occitanica* (E), *Z. exulans* (F), *Z. viciae* (G) und *Z. loti* (H).

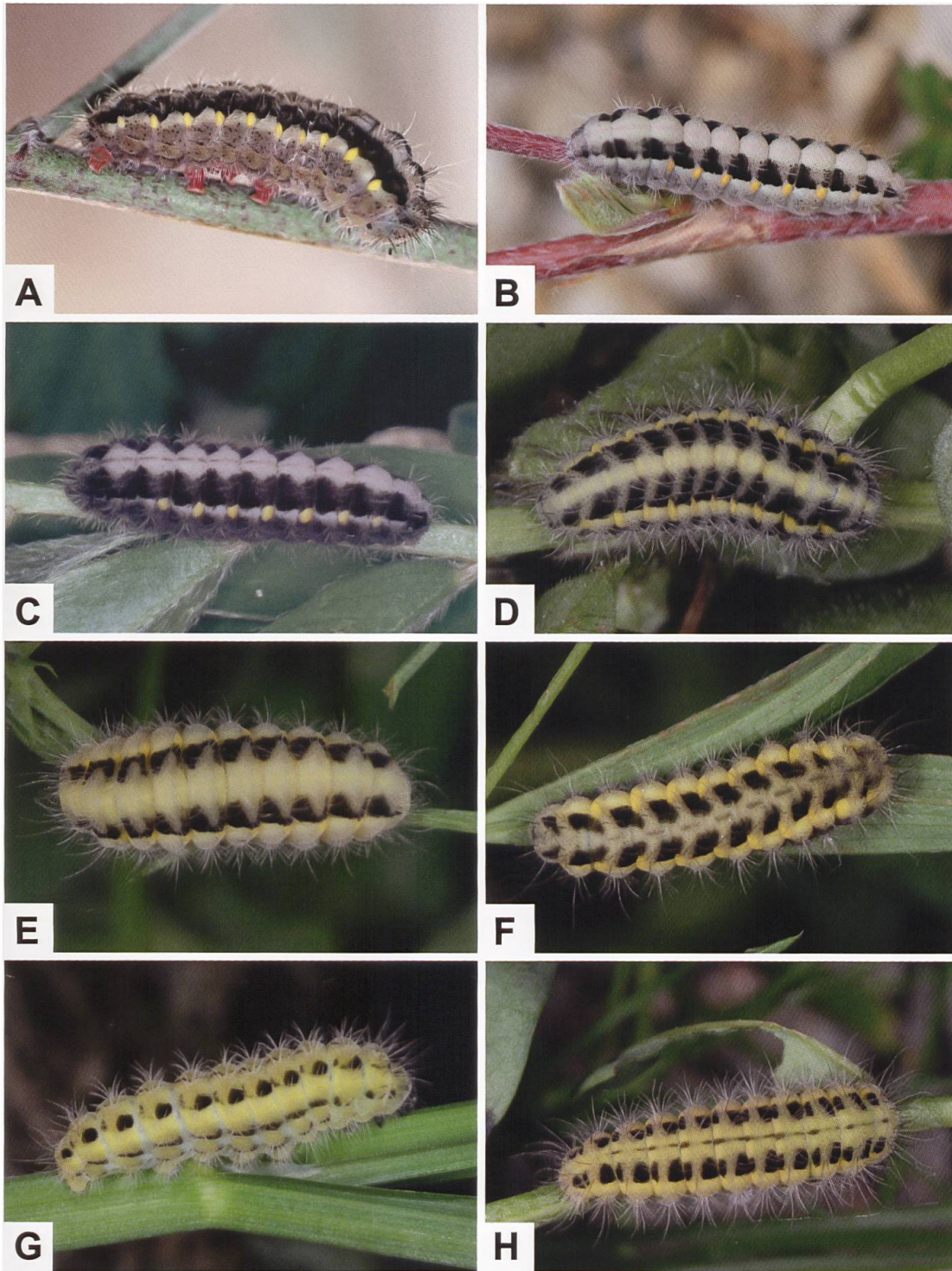


Abb. 295. Erwachsene Raupen aus der Untergattung *Zygaena*: *Z. lavandulae* (A), *Z. rhadamanthus* (B), *Z. oxytropis* (C), *Z. nevadensis* (D), *Z. romeo* (E), *Z. osterodensis* (F), *Z. ephialtes* (G) und *Z. transalpina* (H).

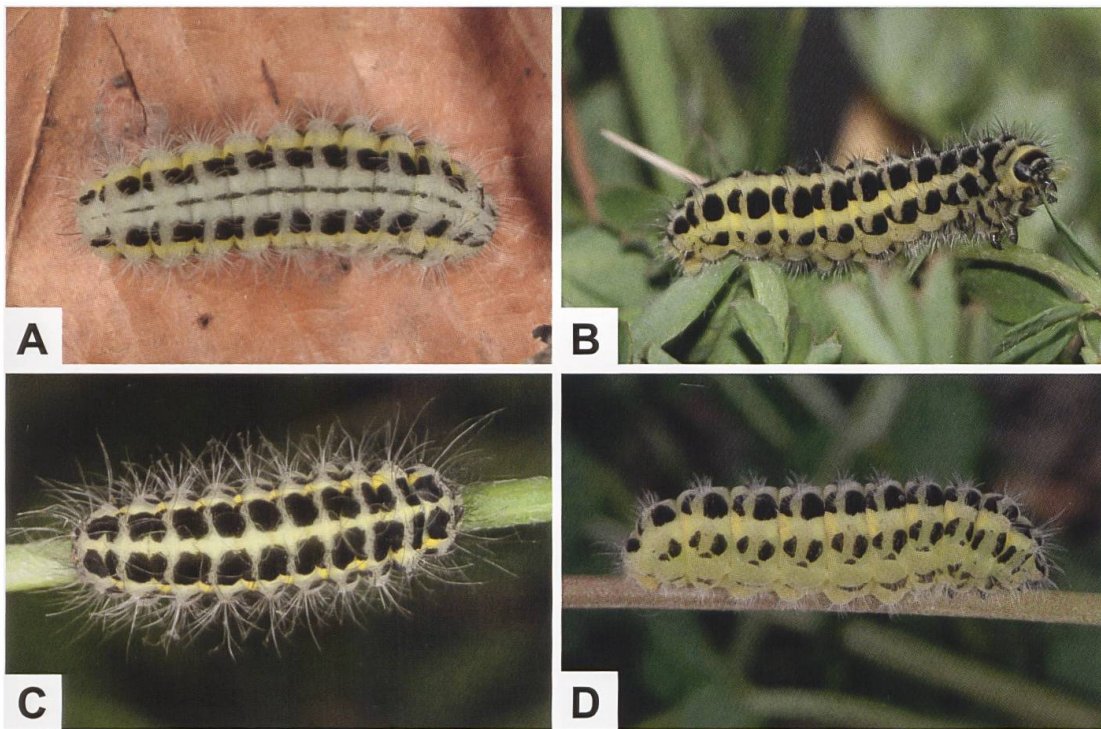


Abb. 296. Erwachsene Raupen aus der Untergattung *Zygaena*: *Z. angelicae* (A), *Z. filipendulae* (B), *Z. lonicerae* (C) und *Z. trifolii* (D).

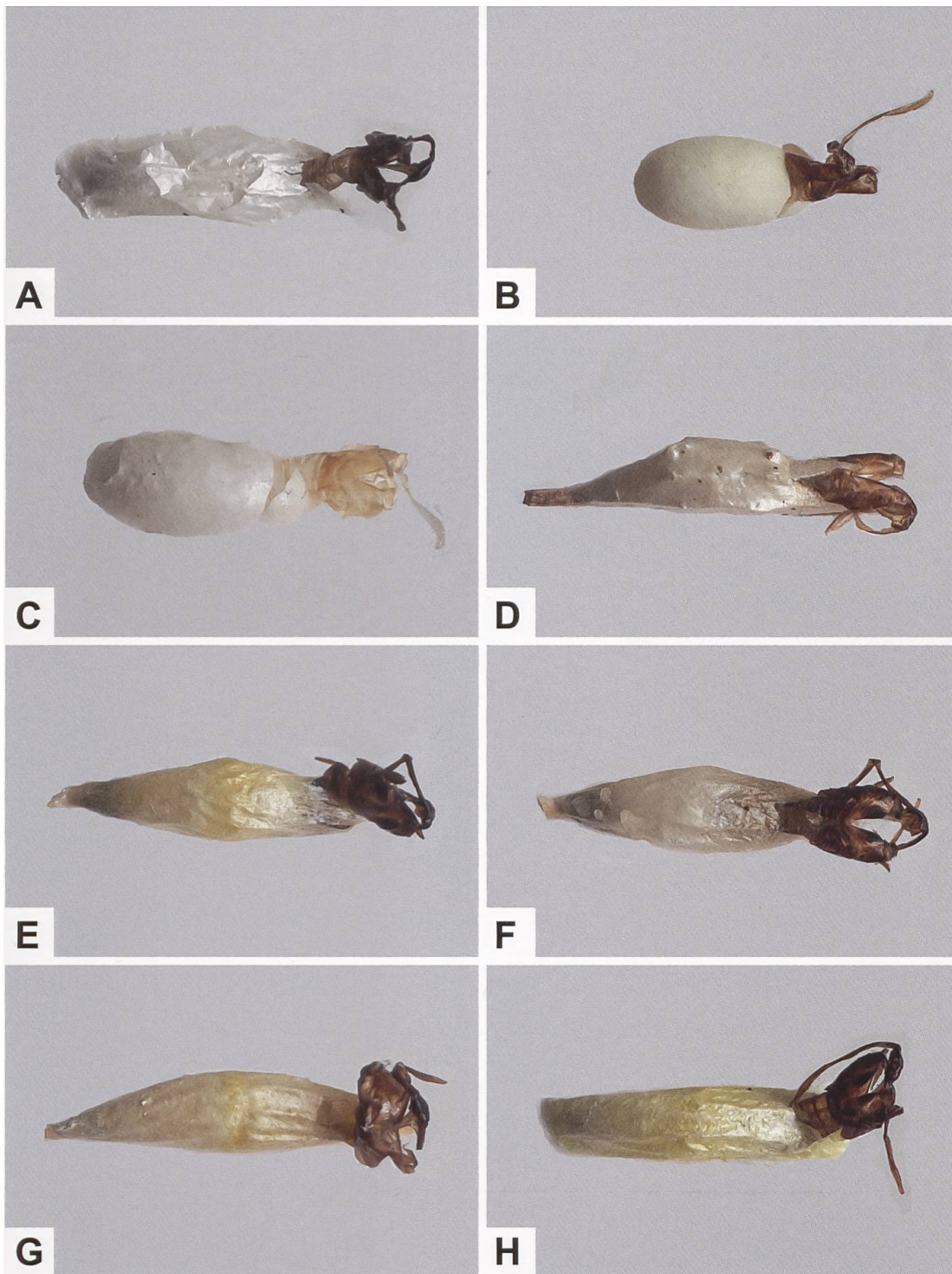


Abb. 297. Auswahl von Kokons und den entsprechenden Exuvien aus ex ovo- und ex larva-Zuchten. A: *Z. brizae*, B: *Z. carniolica*, C: *Z. fausta*, D: *Z. ephialtes*, E, F: *Z. lonicerae*, G: *Z. transalpina*, H: *Z. filipendulae*.